

مطالعه نظری و تجربی جریان در محفظه حلزونی کمپرسور جریان شعاعی*محمد مجدم^(۱) علی حاجیلوی بنیسی^(۲)

چکیده به منظور طراحی بهینه و ساخت کمپرسورهای شعاعی، مطالعه میدان سرعت و فشار در اجزای این ماشین‌ها ضروری می‌نماید. جریان درون محفظه کاملاً سه‌بعدی و پیچیده است و می‌تواند عملکرد اجزای بالادست آن را تحت تأثیر قرار دهد. از این رو مطالعه جریان در این جزء می‌تواند به طراحی بهینه آن و ارتقای عملکرد کمپرسور بیانجامد. در این پژوهش، مطالعه نظری و تجربی جریان محفظه کمپرسور گریز از مرکز در جهت بررسی ساختار جریان و تلفات ناشی از آن صورت می‌گیرد. مدل‌سازی عددی شامل استخراج هندسه کمپرسور موجود، مدل‌سازی اجزاء، شبکه‌بندی و تحلیل جریان است. به منظور اعتبارسنجی مدل عددی، عملکرد محفظه با نصب حسگرهای فشار در مقاطع مختلف کمپرسور و ساختار میدان با استفاده از کاوشگر پنج‌راهه در مجرای محفظه بررسی می‌گردد. انحراف نتایج تجربی و عددی در پیش‌بینی افت فشار محفظه قابل قبول است و با افزایش دبی جرمی، این انحراف کاهش می‌یابد. نتایج میدان جریان، ضمن اینکه با دقت خوبی ساختار گردابه اجباری را در مقطع محفظه قابل قبول است و با افزایش دبی جرمی، این انحراف کاهش می‌یابد. نتایج میدان جریان، ضمن اینکه با دقت دیفیوژر بر ساختار جریان است که به‌عنوان یکی از دلایل تلفات در این نوع محفظه‌ها نسبت به محفظه‌های خارجی در نظر گرفته می‌شود.

واژه‌های کلیدی کمپرسور جریان شعاعی؛ محفظه؛ مطالعه میدان جریان؛ کاوشگر پنج‌راهه.

Experimental and Numerical Flow Investigation through a Radial Flow Compressor Volute

M. Mojaddam A. Hajilouy Benisi

Abstract An optimal design and fabrication of compressors requires flow investigation through the compressor components. Flow field inside the volute is fully three dimensional and turbulent. Better understanding of flow mechanism leads to improve the volute design procedure. In this research the experimental and numerical flow investigation through a radial flow compressor volute are performed to recognize flow field pattern and its effect on pressure loss. The whole compressor components are modeled and the flow field inside the volute is explored. Numerical studies are verified by measuring the pressures at different cross sections using pressure taps. Flow field investigation through volute cross sections at different operating range of the compressor is performed utilizing a five-hole probe. The experimental and numerical result differences for volute total pressure loss prediction are limited and decrease by mass flow rate increase. Flow field measuring results show the flow forced vortex structure at volute cross section. The effect of diffuser discharge on the fluid field in semi-external volute cross section is recognized as an extra pressure loss source in addition to creating the non-uniformity in velocity profile.

Key Words Radial flow compressor; Volute; Flow field; Five-hole probe.

* تاریخ دریافت مقاله ۹۴/۵/۳۱ و تاریخ پذیرش آن ۹۴/۹/۲۲ می‌باشد. DOI: 10.22067/fum-mech.v28i1.49279

(۱) نویسنده مسئول: استادیار، دانشکده مهندسی مکانیک و انرژی، دانشگاه شهید بهشتی. m_mojaddam@sbu.ac.ir

(۲) استاد، دانشکده مهندسی مکانیک، دانشگاه صنعتی شریف.

مقدمه

کمپرسورهای جریان شعاعی به دلیل ویژگی‌هایی مانند افزایش فشار بیشتر در هر طبقه، محدوده وسیع عملکردی با بازده مطلوب، قابلیت اعتماد بالا و مقاوم در برابر آسیب اجسام خارجی و تأثیرپذیری کمتر بازده تحت اثر جریان گازی غیرتمیز، کاربرد فراوان دارند. هم‌چنین از آن‌جا که کمپرسورهای محوری در دبی‌های کم و با سطح جریان کوچک، به شدت افت بازده دارند و مشکلات ساخت پره‌های کوچک وجود دارد، در چنین ابعادی استفاده از کمپرسورهای شعاعی، بازده بیشتر و هزینه‌ای کمتر به دنبال خواهد داشت.

ارتقای محدوده عملکردی این نوع کمپرسور در کنار افزایش نسبت فشار و هم‌چنین بازده آن، نیازمند شناخت دقیق رفتار سیال در پروانه، دیفیوزر و محفظه است.

امکان استفاده از مدل‌های ساده یک‌بعدی، دوبعدی و شبه سه‌بعدی در پروانه و دیفیوزر، باعث شده است رفتار سیال در این دو جز با دقت قابل قبولی قابل پیش‌بینی باشد. با این حال، پیش‌بینی رفتار جریان درون محفظه به دلیل داشتن جریان کاملاً سه‌بعدی و به شدت آشفته، نیازمند مدل‌های سه‌بعدی و مطالعات بیشتر است و مدل‌های یک‌بعدی و دوبعدی پاسخ‌گوی نیاز طراحان نمی‌باشد [1,2].

توسعه تکنولوژی‌های اندازه‌گیری به‌منظور اندازه‌گیری دقیق جریان، محدود و هزینه‌بر است. با این حال استفاده از تکنیک‌های دینامیک سیالات محاسباتی (CFD) و مدل‌سازی سه‌بعدی جریان، امکان بررسی ساختار جریان را فراهم می‌آورد.

در کنار توسعه روش‌های اندازه‌گیری نوری، استفاده از کاوشگرهای سه‌راهه (Three hole probes)، به‌منظور اندازه‌گیری فشار و مقدار سرعت و هم‌چنین کاوشگرهای پنج‌راهه (Five hole probes) به‌منظور اندازه‌گیری فشار و بردار سرعت به نتایج دقیق و قابل

اتکایی منجر می‌گردد [3].

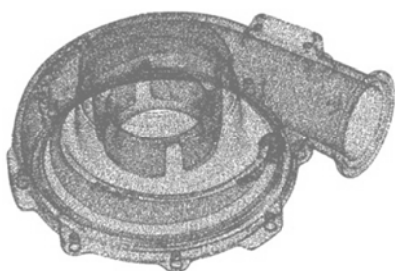
برام‌بوش و هند [4]، در پژوهشی با استفاده از یک کاوشگر سه‌راهه به اندازه‌گیری فشار استاتیکی در یک کانال مستقیم مخروطی به‌جای محفظه پرداختند. آنها نشان دادند که سیالی که از ابتدای کانال وارد می‌شود، مقطع میانی حلزونی را پُر می‌کند و سیالی که پس از آن وارد محفظه می‌شود، در اطراف آن خواهد چرخید و همین روند ادامه می‌یابد. آنها در وسط مقطع ساختار گردابه اجباری را گزارش کردند و در اطراف آن مقدار چرخش را تقریباً ثابت مشاهده کردند.

آیدر و همکاران [2]، میدان جریان در محفظه کمپرسور با مقطع بیضوی را با استفاده از یک کاوشگر سه‌راهه مورد مطالعه قرار دادند. آنها یک مدل یک‌بعدی به‌منظور پیش‌بینی رفتار چرخشی جریان در محفظه را نیز توسعه دادند.

برام‌بوش و همکاران [5] پژوهشی را شامل مطالعه تجربی و عددی بر روی محفظه خارجی کمپرسور با مقطع مربعی انجام دادند. آن‌ها با استفاده از یک کاوشگر پنج‌راهه، میدان جریان را مطالعه کردند.

در پژوهش حاضر، مطالعه نظری و تجربی محفظه کمپرسور گریز از مرکز مورد مطالعه قرار می‌گیرد. پس از استخراج هندسه، تولید مدل و شبکه‌بندی، تحلیل جریان در کمپرسور جریان شعاعی متعلق به یک توربوچارجر انجام می‌گیرد. حلگر با استفاده از یک مسئله نمونه مربوط به پیش‌بینی رفتار درون محفظه، اعتبارسنجی می‌گردد. نتایج عملکردی با استفاده از نصب کاوشگرهای فشار سکون و استاتیک بر روی محفظه استخراج و تأثیر محفظه بر افت فشار در شرایط مختلف عملکردی استخراج می‌گردد. بررسی میدان جریان و فشار نیز با استفاده از کاوشگر پنج‌راهه اندازه‌گیری می‌شود. بدین منظور ابتدا ضرایب کالیبراسیون کاوشگر در تونل باد استخراج می‌گردد. اندازه‌گیری‌ها در محفظه کمپرسور جریان شعاعی مورد مطالعه در آزمایشگاه توربوچارجر دانشگاه صنعتی

شوند و تنها مسیر جریان به عنوان هندسه اصلی استخراج شود (مطابق شکل ۲). سپس با استفاده از مجرای جریان، هندسه محفظه جهت ایجاد شبکه، استخراج می گردد [6].



شکل ۱ ابر نقاط پوسته کمپرسور



شکل ۲ سطوح پیرامونی مجرای جریان در محفظه

برای تولید هندسه پروانه با دقت مناسب، از بازطراحی پروانه استفاده می گردد. در این روش با استفاده از قیودی که با اندازه گیری و عکس برداری حاصل می گردد، بازطراحی پروانه کمپرسور به منظور رسیدن به اطلاعات عملکردی در نقطه طراحی، با استفاده از نرم افزار ویستا (Vista CCD)، انجام می پذیرد. در فرآیند بازطراحی، چندین طرح برای پروانه استخراج می گردد و اطلاعات عملکردی هر یک از پروانه ها ارزیابی می شود و سپس طرحی که اطلاعات عملکردی آن بیشترین انطباق را با عملکرد پروانه موجود دارد و هندسه آن نزدیک ترین هندسه نسبت به هندسه منتج از عکس برداری است، انتخاب می گردد.

شریف انجام می شود و با استفاده از ضرایب کالیبراسیون، مشخصات جریان شناسایی می گردد.

مدل سازی

به منظور شبیه سازی جریان، از مدل سازی جریان در تمام اجزای کمپرسور جریان شعاعی استفاده گردید.

استخراج هندسه. به منظور ایجاد هندسه، مشخصات اجزای کمپرسور مورد نیاز است که برخی از آنها، مطابق جدول (۱) استخراج گردید.

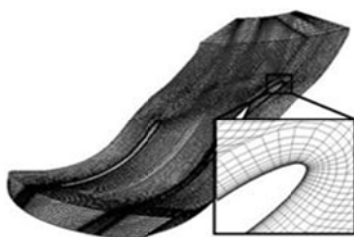
جدول ۱ مشخصات کمپرسور آزمون

مقادیر	پارامتر
۱۲ (به همراه نیم پره)	تعداد پرها
۶۰ درجه	زاویه ورودی پره
۳۰ درجه	زاویه خروجی پره
۵۴ میلی متر	قطر نوک در ورودی
۲۲ میلی متر	قطر ریشه در ورودی
۸۲ میلی متر	قطر خروجی پروانه
۵/۵ میلی متر	عرض پره در خروجی
۲۷ میلی متر	طول محوری پره
۱۸ میلی متر	طول محوری نیم پره

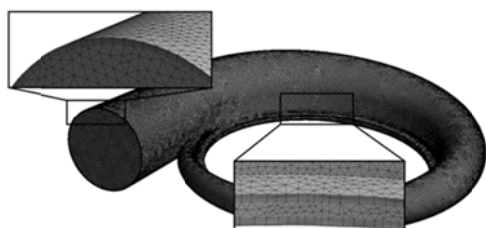
به منظور استخراج هندسه محفظه، از عکس برداری در دستگاه مولتی سیتی اسکن (X-ray Multi CT-scan Tomography) استفاده گردید. در این روش، عکس برداری در صفحات موازی در دو راستا با دقت ۰/۶ میلی متر صورت می گیرد و ابر نقاط (Point Cloud) به صورت سه یعدی، مطابق شکل (۱)، به عنوان خروجی ارائه می شود.

پس از پردازش اولیه، شامل تشخیص مرز قطعه، سطوح قطعه با استفاده از نرم افزارهای مدل سازی هندسه (CAD) تشخیص داده می شود. برای مدل سازی و تحلیل جریان در محفظه، مجرای عبور جریان مورد نیاز است. بنابراین لازم است قسمت های اضافی حذف

در شبکه‌بندی دیفیوزر، از شبکه‌سازمان‌یافته متناسب با خروجی پروانه، شامل ۵ ردیف لایه مرزی و نسبت رشد ۱/۲ استفاده می‌گردد. حدود ۳ میلیون المان برای محفظه استفاده می‌گردد که در آن ۵ ردیف لایه مرزی و با نسبت رشد ۱/۲ تنظیم شده است. به منظور جلوگیری از ایجاد خطای ناشی از به‌وجود آمدن سطح تماس (Interface) در خروجی دیفیوزر و ورودی محفظه و تأثیر این مرز جدایش بر روی مطالعه جریان درون محفظه، ۱۰ درصد انتهایی دیفیوزر جزء محفظه در نظر گرفته می‌شود. نمونه شبکه‌بندی پروانه و محفظه به ترتیب مطابق شکل (۴ و ۵) است.



شکل ۴ نمونه شبکه‌بندی پروانه

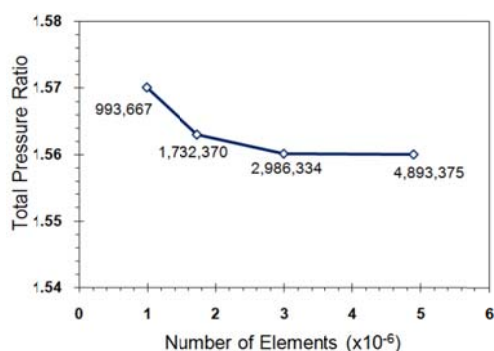


شکل ۵ شبکه‌بندی محفظه شامل لایه انتهایی دیفیوزر در ورودی محفظه

مدل‌سازی جریان. حل میدان جریان با استفاده از مدل سه‌بعدی و به روش حجم محدود بر روی معادلات ناور-استوکس میانگین‌گیری‌شده (RANS) صورت می‌گیرد. تنش‌های رینولدز در معادلات انتقال با استفاده از مدل توربولانسی اس‌اس‌تی (Shear Stress Transport-SST) حل می‌گردد [8].

ایجاد شبکه. در این مدل‌سازی از شبکه‌بندی سازمان‌یافته برای پروانه استفاده می‌گردد. برای محفظه با توجه به پیچیدگی هندسی آن، از شبکه بی‌سازمان چهاروجهی استفاده می‌شود [7].

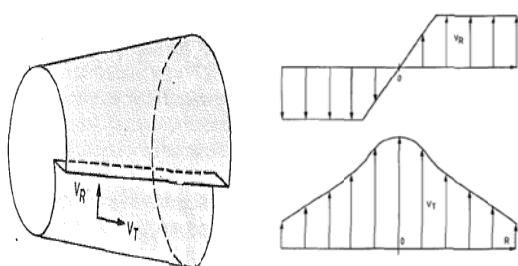
تعداد المان‌های شبکه بسته به نتایج مورد نیاز می‌تواند تنظیم شود، به طوری که برای استخراج نتایج عملکردی می‌توان از شبکه بزرگ‌تر و برای مطالعه میدان جریان می‌بایست از شبکه‌بندی ریزتر استفاده کرد به طوری که در هر حالت شرط استقلال از شبکه‌بندی (Mesh independency) ارضا شود. برای نمونه، استقلال شبکه برای مشخصه عملکردی نسبت فشار مطابق شکل (۳) است که ملاحظه می‌گردد با ریزتر شدن شبکه به سمت یک مقدار ثابت میل می‌کند و در این حالت، مسئله مستقل از شبکه خواهد بود.



شکل ۳ حساسیت نسبت فشار کمپرسور به تعداد شبکه

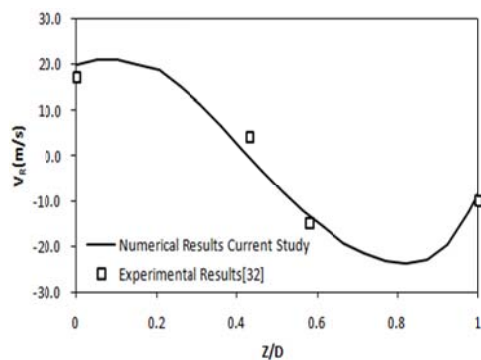
از حدود ۷۵۰ هزار شبکه برای هر کانال پروانه، شامل ورودی، پره (و نیم‌پره) و دیفیوزر استفاده می‌گردد. شبکه‌بندی پروانه، دارای شبکه نوع O-O (Type Grid) است که این توپولوژی یک حلقه بسته در اطراف پره با المان‌های متعامد را شامل می‌شود که ضخامت آن نصف عرض پره در هر مقطع تنظیم گردید. در اطراف پروانه ۱۲ ردیف لایه مرزی با نسبت رشد کمتر از ۱/۳ و اولین شبکه کنار دیواره در فاصله حدود ۰/۰۴ میلی‌متر است.

حذف انحنای موجود بین زبانه و مخروط خروجی است. جریان هوا از لوله ورودی دمیده می شود و پس از عبور از تیغه های راهنما که قابلیت تنظیم دارند وارد محفظه مستقیم می شود. یک تطابق تجربی میان محفظه واقعی و این مدل، برای تنظیم زاویه تیغه های هادی برای سه دبی جرمی کم، بهینه و زیاد نیز انجام گرفته است. طرحواره مؤلفه های شعاعی و مماسی سرعت در مقطع محفظه، با استفاده مدل ساده شده شکل (۶)، مطابق شکل (۷) است.



شکل ۷ طرحواره مؤلفه های سرعت در مدل ساده شده محفظه [4]

شکل های (۸ و ۹) به ترتیب نتایج مدل سازی عددی و نتایج تجربی را در مقطع $X/L = 0.45$ برای سرعت شعاعی و مماسی نشان می دهند. ساختار گردابه ای، مشابه گردابه جریان اجباری را با بررسی بردار شعاعی سرعت (شکل ۸) و همچنین شکل (۱۰) می توان تشخیص داد.

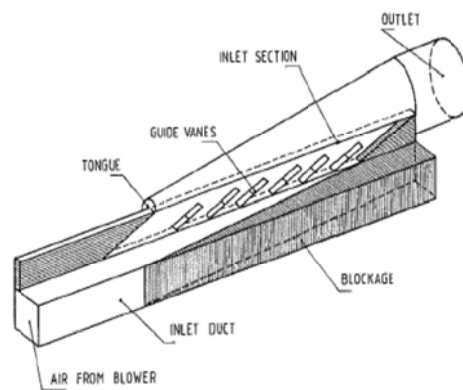


شکل ۸ مؤلفه شعاعی سرعت - نتایج مدل سازی در کنار نتایج تجربی

سیال کاری هوا و معادله حالت گاز ایده آل که ضریب گرمایی ویژه آن تابعی از دما است، استفاده می گردد. شرط مرزی، دبی جرمی و دمای سکون در ورودی و فشار استاتیک در خروجی در نظر گرفته می شود. همچنین بر اساس عدد رینولدز در ورودی پروانه، شدت آشفتگی (Turbulence Intensity) محاسبه گردید و تحلیل حساسیت نشان می دهد که مقدار ۵ درصد برای آن مناسب است. مقدار y^+ دیوار (Wall Y plus) در دامنه حل دوار کمپرسور، مقدار ۱۰ تا ۲۰ تنظیم می گردد. کلیه دیواره ها به صورت آدیاباتیکی در نظر گرفته می شوند. دیواره های پروانه و دیفیوزر به صورت هموار (Smooth Wall) و برای محفظه زبری 0.2 میلی متر لحاظ می گردد. معیار هم گرایی پنج صد هزارم تنظیم می گردد.

اعتبارسنجی حلگر

به منظور اعتبارسنجی حلگر مورد استفاده، ابتدا یک مسئله نمونه مورد بررسی قرار می گیرد. مدل انتخابی یک دیفیوزر مخروطی، مطابق شکل (۶) است و برای بررسی ساختار جریان درون محفظه آزمایش شده است [4].

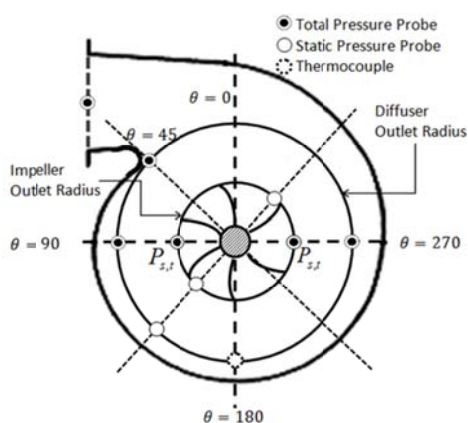


شکل ۶ مدل محفظه مستقیم [4]

این مدل، طرح ساده شده از محفظه کمپرسور یک توربوچارجر است و تفاوت آن با محفظه واقعی،

می توان تلفات انرژی در اجزای کمپرسور را محاسبه کرد.

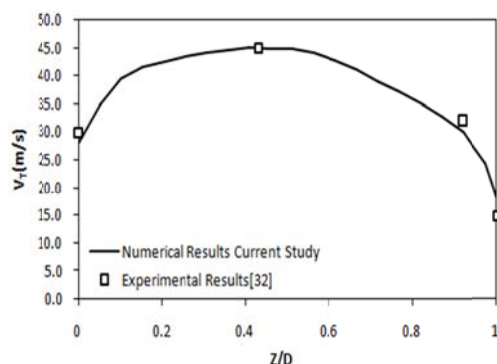
با در نظر گرفتن محدودیت فضا و راه های دسترسی و نیاز به جاسازی پایه حسگرها (Sensors)، موقعیت های اندازه گیری تعیین و وسایل اندازه گیری نصب گردید. شکل (۱۱)، ایستگاه های اندازه گیری و موقعیت آنها را نشان می دهد.



شکل ۱۱ ایستگاه های اندازه گیری بر روی پوسته کمپرسور

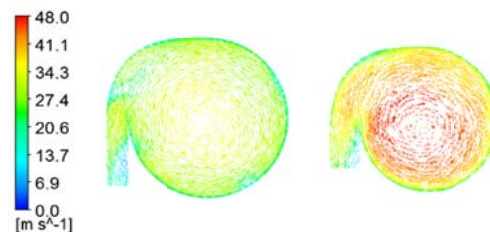
برای اندازه گیری فشار سکون با استفاده از لوله پیتوت، می بایست لوله در راستای جریان قرار گیرد تا فشار سکون جریان به درستی اندازه گیری شود. به همین منظور از لوله ای که قابلیت تنظیم داشته باشد استفاده می گردد به طوری که در محل نصب، نشت جریان رخ ندهد. با تنظیم لوله پیتوت، قرائت بیشینه فشار نشان دهنده راستای جریان در محل اندازه گیری است و مقدار فشار سکون خواهد بود.

جدول (۲)، مقادیر محاسبه شده بر مبنای داده های تجربی و نتایج مدل سازی سه بعدی را نشان می دهد. داده ها، مربوط به سه دبی جرمی ۰/۰۵، ۰/۰۸ و ۰/۱۱ کیلوگرم بر ثانیه در سرعت دورانی ۶۰ هزار دور بر دقیقه برای حسگرهای نصب شده در ورودی و خروجی محفظه هستند.



شکل ۹ مؤلفه شعاعی سرعت - نتایج مدل سازی

در کنار نتایج تجربی



شکل ۱۰ بردار سرعت در مقاطع $X/L=0.45$ (راست)

و $X/L=0.81$ (چپ)

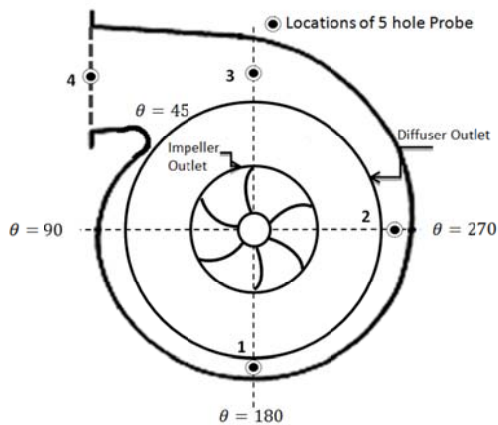
ملاحظه می گردد، نتایج مدل سازی، انطباق خوبی با نتایج تجربی دارد و به خوبی ساختار جریان درون محفظه را نشان می دهد.

مطالعات تجربی

مطالعات تجربی در بستر آزمون توربوچارجر آزمایشگاه توربوچارجر دانشگاه صنعتی شریف صورت می پذیرد. در این آزمایشگاه به منظور انجام آزمایش های عملکردی توربوچارجر، از روش شبیه سازی رفتار توربین با استفاده از هوای متراکم استفاده می شود [9,10].

بررسی تأثیر محفظه بر افت فشار. برای بررسی تأثیر محفظه بر افت فشار و بازده کمپرسور، نیاز به اندازه گیری فشار و دما در ورودی و خروجی اجزای کمپرسور است. با اندازه گیری پارامترهای جریان

مطالعه میدان جریان. برای مطالعه میدان جریان در محفظه کمپرسور، چهار موقعیت بر روی محفظه به منظور اندازه گیری کمیت های جریان انتخاب گردید. شکل (۱۲) طرح واره این موقعیت ها را نشان می دهد. برای استفاده از کاوشگر، مجاری به قطر مناسب در اطراف محفظه ایجاد گردید. در هر موقعیت، اندازه گیری در چند موقعیت عرضی (جابه جایی در راستای محور کمپرسور)، با استفاده از یک مکانیزم تنظیم مختصات (Traverse)، صورت می گیرد. شکل (۱۳) کاوشگر نصب شده در موقعیت ۲، به همراه مکانیزم جابه جایی را نشان می دهد.



شکل ۱۲ موقعیت های در نظر گرفته شده برای نصب کاوشگر



شکل ۱۳ کاوشگر نصب شده در موقعیت ۲ (شکل ۱۲) و سیستم حرکت عرضی و چرخشی آن

جدول ۲ نتایج مربوط به افت فشار در محفظه (۶۰ هزار دور بر دقیقه)

انحراف (%)	نتایج تجربی (Pa) ± 1.5 درصد خطای اندازه گیری	نتایج عددی (Pa)	دبی جریان (kg/s)
۷/۸۶	۲۳۰۰	۲۱۱۹	دبی کم - ۰/۰۵
۳/۰۵	۳۹۰۰	۳۷۸۱	دبی متوسط - ۰/۰۸
۳/۹۴	۵۵۰۰	۵۳۸۳	دبی زیاد - ۰/۱۱

ملاحظه می گردد که با افزایش دبی خطای پیش بینی عملکرد محفظه کاهش می یابد.

جدول (۳)، نتایج عددی و تجربی نسبت فشار را برای سه مقطع کمپرسور از ورودی تا به ترتیب ورودی دیفیوزر، خروجی دیفیوزر (ورودی محفظه) و خروجی محفظه نمایش می دهد. با افزایش سرعت دورانی، انحراف نتایج عددی از نتایج تجربی کاهش می یابد و انحراف محدود به ۳/۴ درصد می شود.

هم چنین در جدول (۳)، سهم محفظه از افت فشار سکونی که در محفظه و دیفیوزر رخ می دهد، ذکر گردیده است. ملاحظه می گردد که سهم محفظه و کمپرسور در افت فشار سکون در سرعت دورانی های گزارش شده، برابر است. لازم به ذکر است در هر سرعت دورانی، نتایج برای دبی جرمی که بیشترین بازده را سبب می شود، گزارش شده است.

جدول ۳ سهم محفظه از افت فشار اجزای ثابت

سرعت دورانی (rpm)	نسبت فشار از ورودی تا						سهم محفظه (%)
	ورودی دیفیوزر		خروجی دیفیوزر		خروجی محفظه		
	$\frac{P_1}{P_0}$	$\frac{P_2}{P_0}$	$\frac{P_3}{P_0}$	$\frac{P_4}{P_0}$	$\frac{P_5}{P_0}$	$\frac{P_6}{P_0}$	
۵۰۰۰	۱/۳۲۹	۱/۲۸۶	۱/۳۲۰	۱/۲۷۷	۱/۳۱۱	۱/۲۶۸	۵۰/۰
۶۰۰۰	۱/۴۸۸	۱/۴۴۰	۱/۴۷۳	۱/۴۲۵	۱/۴۵۹	۱/۴۱۰	۴۸/۳
۷۰۰۰	۱/۶۳۹	۱/۶۱۸	۱/۶۱۶	۱/۵۹۶	۱/۵۹۴	۱/۵۷۶	۴۸/۹

استخراج ضرایب. تمامی تجهیزات اندازه‌گیری می‌بایست پیش از انجام آزمایش‌ها کالیبره گردند و روابط کالیبراسیون، برای تصحیح مقادیر اندازه‌گیری شده استخراج گردد. به همین منظور حسگرهای فشار با استفاده از مانومتر جیوه‌ای کالیبره می‌شوند. همچنین حسگرهای دما با استفاده از دستگاه مرجع (RTD Thermometer)، در محدوده دمای انجماد تا دمای جوش آب کالیبره و منحنی‌های آن استخراج می‌گردد [12].

ضرایب مورد نیاز کاوشگر پنج‌راهه، با استفاده از فشارهای قرائت‌شده در شرایط آزمون مشخص استخراج می‌گردد. بدین منظور از تونل باد آزمایشگاه مکانیک سیالات دانشگاه صنعتی شریف استفاده می‌گردد. به منظور تغییر راستای کاوشگر نسبت به راستای جریان، پایه کاوشگر طراحی و ساخته شد که امکان چرخش کاوشگر در دو صفحه گام و یاو فراهم گردد. بستر آزمون کالیبراسیون در تونل باد، در شکل (۱۶) مشاهده می‌گردد.

فشارهای قرائت‌شده برای محاسبه ضرایب بدون بعد به کار می‌روند، ضرایب به گونه‌ای تعیین می‌شوند تا بیانی مناسب از کمیت مورد بررسی باشند. ضرایب شامل، ضرایب بدون بعد یاو (C_Y)، گام (C_P)، فشار دینامیکی (C_V) و فشار کل (C_{PT}) است که با استفاده از پنج فشار قرائت شده P_{p1} تا P_{p5} و روابط (۱-۴) محاسبه می‌شوند [13].

$$C_Y = \frac{P_{p3} - P_{p2}}{P_{p1} - 0.25(P_{p2} + P_{p3} + P_{p4} + P_{p5})} \quad (1)$$

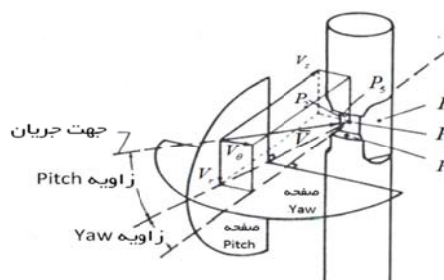
$$C_P = \frac{P_{p5} - P_{p4}}{P_{p1} - 0.25(P_{p2} + P_{p3} + P_{p4} + P_{p5})} \quad (2)$$

$$C_V = \frac{0.25(P_{p2} + P_{p3} + P_{p4} + P_{p5}) - P_{ps}}{P_{p1} - 0.25(P_{p2} + P_{p3} + P_{p4} + P_{p5})} \quad (3)$$

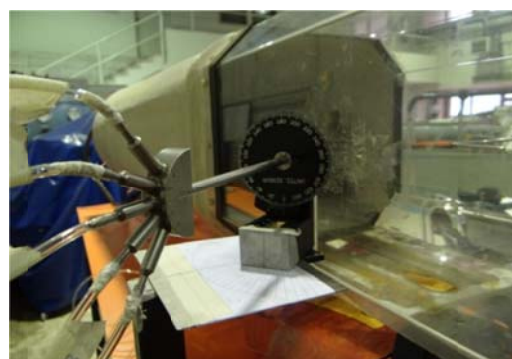
قسمت اصلی کاوشگر پنج‌راهه در شکل (۱۴) ملاحظه می‌گردد. قطر نوک این کاوشگر ۳/۲ میلی‌متر و طول آن ۲۵۰ میلی‌متر است. با استفاده از این کاوشگر می‌توان فشار کل، فشار استاتیک، سرعت جریان و زاویه‌های گام (Pitch) و یاو (Yaw) جریان را اندازه‌گیری کرد. مطابق شکل (۱۵)، مجاری فشار ۲ و ۳ برای سنجش زاویه یاو، مجاری ۴ و ۵ برای سنجش زاویه گام و مجرای ۱ برای اندازه‌گیری فشار کل است. به منظور اندازه‌گیری کمیت‌های جریان، راستای کاوشگر نسبت به یک مرجع مشخص، ثابت فرض می‌شود و زوایای یاو و گام نسبت به کاوشگر سنجیده می‌شود [11].



شکل ۱۴ نوک کاوشگر پنج‌راهه



شکل ۱۵ طرح‌واره کاوشگر و بردار سرعت ورودی



شکل ۱۶ بستر آزمون کالیبراسیون کاوشگر در تونل باد

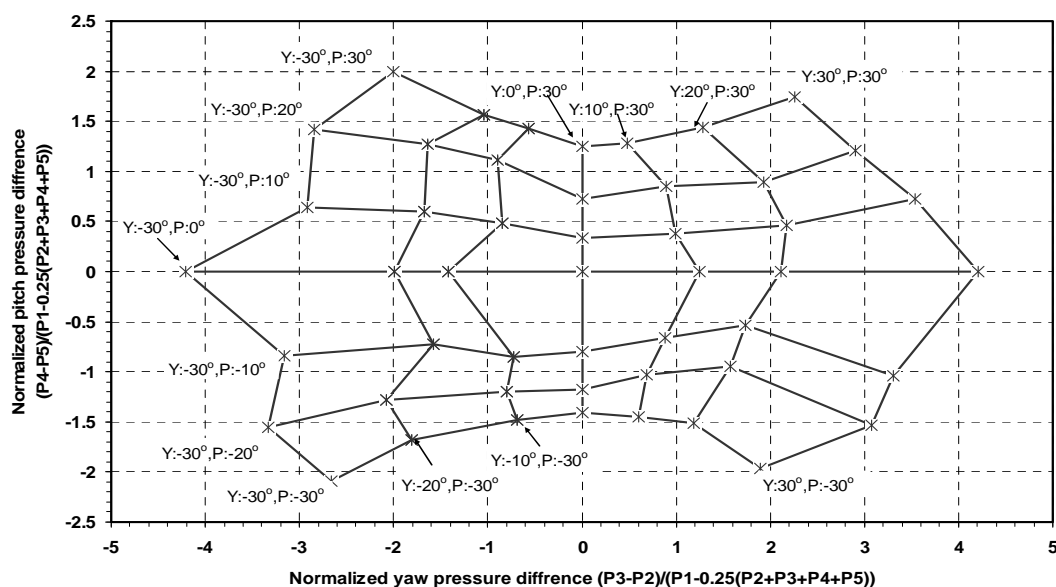
شرایط ایده‌آل می‌بایست از خطوط مستقیم افقی و عمودی تشکیل شده باشد که به دلیل مشکلات ساخت و ایجاد عدم تقارن در حالت واقعی، شبکه‌ای نامتقارن ایجاد می‌گردد [14].

ضریب بدون بعد فشار کل و ضریب بدون بعد فشار دینامیکی برحسب زاویه‌های گام و یاو به ترتیب در شکل‌های (۱۸ و ۱۹) نمایش داده شده‌است.

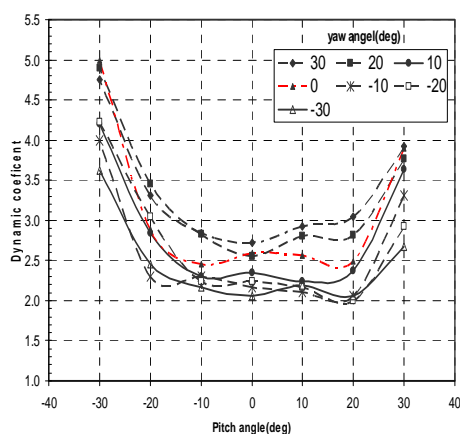
$$C_{PT} = \frac{P_{p1} - P_{pt}}{P_{p1} - 0.25(P_{p2} + P_{p3} + P_{p4} + P_{p5})} \quad (4)$$

در استخراج ضرایب کالیبراسیون و هم‌چنین آزمون‌های میدان جریان داده‌برداری برای هر نقطه، سه مرتبه‌صورت گرفت و داده‌ها پس از میان‌گیری مورد استفاده قرار گرفت.

ضرایب بدون بعد گام و یاو برحسب زوایای مختلف در شکل (۱۷) نشان داده شده است. شبکه در

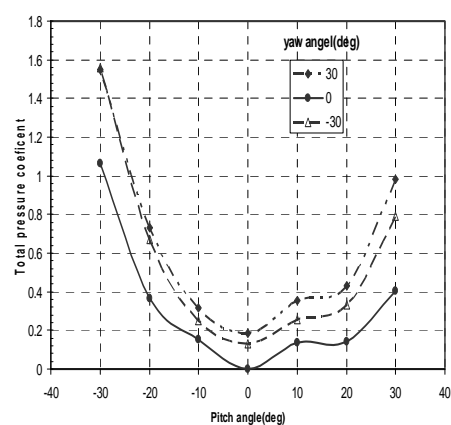


شکل ۱۷ ضرایب بدون بعد گام و یاو در زوایای مختلف قرارگیری کاوشگر [14]



شکل ۱۹ تغییرات ضریب بدون بعد فشار دینامیکی در زوایای

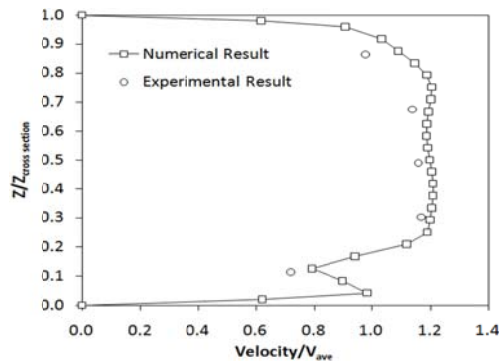
مختلف [14]



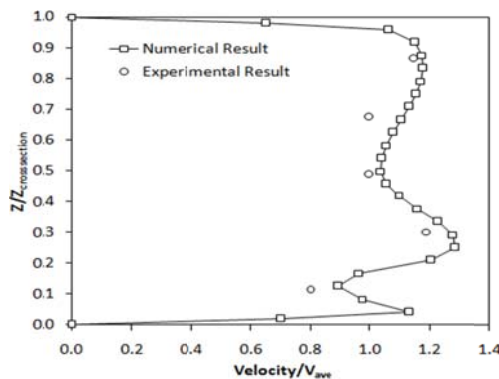
شکل ۱۸ تغییرات ضریب بدون بعد فشار کل در زوایای

مختلف [14]

گزارش می‌گردد. شکل‌های (۲۰ و ۲۱) اندازه بردار سرعت را که با استفاده از مقدار میانگین آن بی‌بعد شده است، به همراه نتایج عددی به ترتیب برای وضعیت ۱ و ۲ نشان می‌دهد و محور عمودی، z^* ، باز حرکتی بی‌بعد شده کاوشگر می‌باشد.



شکل ۲۰ نتایج تجربی و عددی اندازه سرعت در وضعیت ۱



شکل ۲۱ نتایج تجربی و عددی اندازه سرعت در وضعیت ۲

در وضعیت‌های مورد بررسی، ملاحظه می‌گردد که پروفیل سرعت در مقادیر بالای محور عمودی ($z^* > 0.2$)، نسبتاً یکنواخت است و در محدوده z^* بین ۰ تا ۰/۱۵، ناپیوستگی بر روی پروفیل ایجاد شده است.

در وضعیت ۱، در مقادیر $z^* > 0.2$ ، پروفیل سرعت یکنواخت‌تر است و نشان از توسعه یافتگی جریان با توجه به دبی زیادتر آن دارد در حالی که در وضعیت ۲، این پروفیل دارای یک کمینه است (در $z^* \approx 0.5$).

چنانچه کاوشگر در جریان قرار گیرد، با استفاده از پنج مقدار فشار اندازه‌گیری شده، ابتدا ضرایب گام و یاو محاسبه می‌گردند. با استفاده از شکل (۱۷)، زاویه‌های گام و یاو مشخص می‌شوند، که جهت جریان را نسبت به راستای کاوشگر نشان می‌دهند. با استفاده از این زوایا، ضرایب فشار کل و فشار دینامیکی با استفاده از نمودارهای شکل‌های (۱۸ و ۱۹) به دست خواهد آمد. با استفاده از ضرایب بدون بعد به دست آمده و روابط (۳ و ۴) مقادیر فشار سکون، فشار استاتیک جریان و اندازه سرعت قابل محاسبه خواهد بود.

از یک صفحه مدرج برای چرخاندن کاوشگر استفاده می‌شود. دلیل استفاده از این صفحه چرخاندن کاوشگر به منظور قرار گرفتن آن در محدوده‌ای است که ضرایب کاوشگر استخراج شده است. به دلیل این که مجاری داخلی کاوشگر بسیار نازک هستند (قطر کمتر از ۰/۴ میلی‌متر)، برای پایدار شدن شرایط در کلیه مجاری کاوشگر می‌بایست زمان مشخصی هوای فشرده مورد نیاز سیستم تأمین گردد.

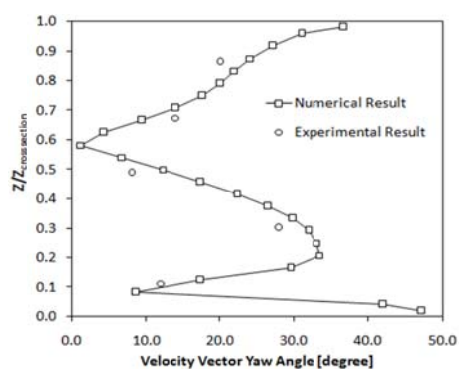
در هر نقطه، با استفاده از فشارهای قرائت شده و منحنی‌های کالیبراسیون، مقدار سرعت (V)، مقادیر فشار استاتیک و سکون و همچنین زوایای گام (β) و یاو (γ) به دست می‌آید و با استفاده از روابط زیر می‌توان مؤلفه‌های بردار سرعت را براساس شکل (۱۵) استخراج نمود.

$$\begin{aligned} V_z &= V \cos(\beta) \cos(\gamma) \\ V_r &= V \sin(\beta) \\ V_\theta &= V \cos(\beta) \sin(\gamma) \end{aligned} \quad (5)$$

اندازه‌گیری در موقعیت ۲، در دو نقطه مختلف کاری در سرعت‌های دورانی ۶۰ و ۷۰ هزار دور بر دقیقه به ترتیب در دبی جرمی ۰/۱۵ و ۰/۱۳ کیلوگرم بر ثانیه که وضعیت ۱ و وضعیت ۲ نامیده می‌شوند،

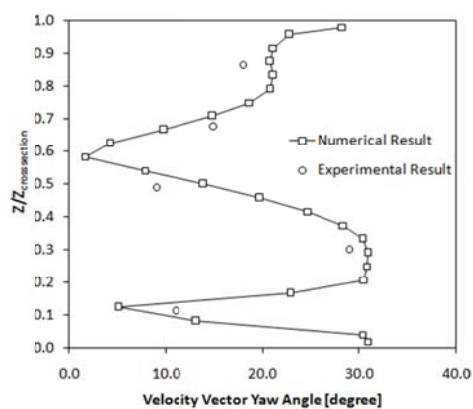
نمودارهای مشابهی در شکل‌های (۲۴ و ۲۵)،
قدر مطلق زاویه یاو را نشان می‌دهد.

مقادیر تجربی با توجه به محدوده کالیبراسیون
کاوشگر، در بازه $\pm 30^\circ$ درجه، الگوی تغییرات زاویه را
به خوبی نشان می‌دهند. بررسی زاویه یاو که در صفحه
عمود بر راستای کاوشگر قرار می‌گیرد، به خوبی
چرخش جریان را نشان می‌دهد. قدر مطلق زاویه به
سمت مرکز مقطع رفته‌رفته کم می‌شود و پس از آن
افزایش می‌یابد که ساختار گردابه اجباری در مقطع را
نشان می‌دهد. با نزدیک شدن به دیواره هاب، مقدار
زاویه در فاصله کوتاهی افزایش می‌یابد که این موضوع
نشان از قابل ملاحظه بودن سرعت شعاعی خروجی از
دیفیوزر نسبت به سرعت پیرامونی محافظه است و
باعث افزایش مقدار زاویه یاو می‌شود.



شکل ۲۴ نتایج تجربی و عددی قدر مطلق

زاویه یاو بردار سرعت در وضعیت ۱

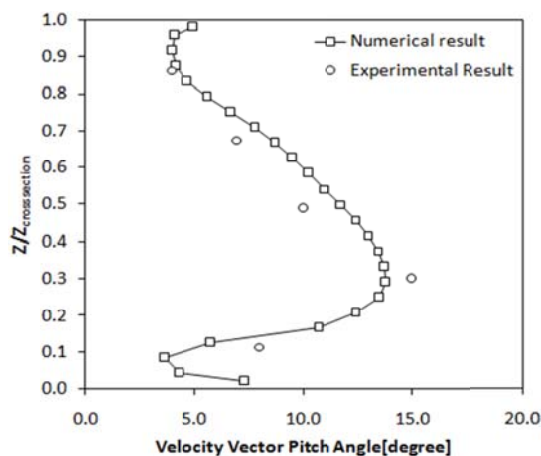


شکل ۲۵ نتایج تجربی و عددی قدر مطلق

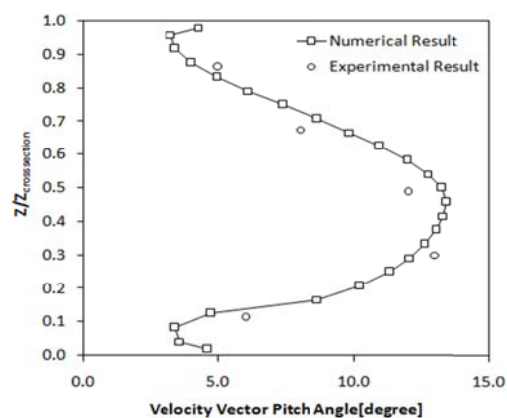
زاویه یاو بردار سرعت در وضعیت ۲

زاویه گام برای دو نقطه عملکردی اندازه‌گیری شده
مطابق شکل‌های (۲۲ و ۲۳) است.

ملاحظه می‌گردد که زاویه گام در بازه تقریباً 10°
درجه‌ای نوسان می‌کند و البته در وضعیت ۱، تغییرات
بیشتری را تجربه می‌کند. با این حال این زاویه مربوط
به صفحه گذرنده از راستای محور کاوشگر است و با
توجه به موقعیت قرارگیری کاوشگر نسبت به جریان،
بیانگر زاویه‌ای است که تأثیر کوچک‌ترین مؤلفه
سرعت را نشان می‌دهد، بنابراین مقدار و تغییرات آن
نسبت به زاویه یاو کمتر است.



شکل ۲۲ نتایج تجربی و عددی زاویه گام بردار سرعت
در وضعیت ۱



شکل ۲۳ نتایج تجربی و عددی زاویه گام بردار سرعت
در وضعیت ۲

جمع بندی

در این پژوهش مطالعه عددی و تجربی ساختار جریان و میدان فشار در محفظه کمپرسور گریز از مرکز صورت می گیرد. مدل سازی اجزای کمپرسور با استخراج هندسه و تحلیل جریان در پروانه، دیفیوزر و محفظه انجام می گردد و با استفاده از یک مسئله نمونه، مدل سازی عددی اعتبارسنجی می گردد.

میدان جریان در موقعیت های قابل اندازه گیری با استفاده از کاوشگر پنج راهه مورد مطالعه قرار می گیرد. به این منظور، ابتدا ضرایب کاوشگر با استفاده از تونل باد استخراج می شود و سپس توسط مکانیزم تغییر مختصات بر روی بستر آزمون نصب می گردد.

نتایج نشان می دهد که مدل عددی با دقت قابل قبولی افت فشار ناشی از وجود محفظه را پیش بینی می کند. هم چنین مقایسه افت فشار در سرعت دورانی های مختلف نشان می دهد که در دبی جرمی ای که حداکثر بازده حاصل می گردد، محفظه و دیفیوزر سهم یکسان دارند.

اندازه گیری ها، به خوبی ساختار جریان را درون مجاری محفظه نشان می دهد. مطالعه ساختارهای جریان نشان می دهد که جریان پس از ورود به محفظه، شروع به چرخش در مقطع می کند و عامل این چرخش مؤلفه شعاعی سرعت در ورودی محفظه است. عامل ایجاد عدم یکنواختی مشاهده شده در پروفیل سرعت درون محفظه، تأثیرپذیری آن از جریان خروجی از دیفیوزر است که در محفظه های نیمه خارجی این تأثیر بیشتر است.

فهرست علائم

C_p ضریب بدون بعد گام

C_γ ضریب بدون بعد یاو

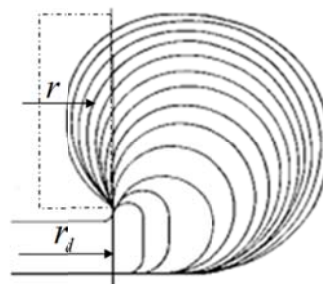
C_{PT} ضریب بدون بعد فشار کل

با توجه به موقعیت های اندازه گیری و دبی های جریان، خطای مدل عددی در نزدیک دیواره افزایش می یابد. البته می بایست خطای اندازه گیری توسط کاوشگر در نزدیکی دیواره به دلیل تأثیر دیواره را بر آن نیز در نظر گرفت.

شکل خاص محفظه سبب می شود در محدوده نزدیک به دیواره، ناپیوستگی بر روی پروفیل سرعت ایجاد گردد که ناشی از ورود سیال از ناحیه دیفیوزر است.

محفظه مورد بررسی، یک محفظه نیمه خارجی (semi external) است. به این معنی که مناطقی از سطح مقطع محفظه وجود دارد که فاصله آنها از محور ماشین کمتر از شعاع خروجی دیفیوزر است. در شکل ۲۶ که سطح مقطع های مختلف محفظه را بر روی یک صفحه نشان می دهد، ملاحظه می گردد که در مستطیل نشان داده شده، خواهیم داشت: $r < r_d$. در حالی که در محفظه های خارجی برای تمام r ها عبارت $r \geq r_d$ برقرار است.

ملاحظه می گردد، که در این نوع محفظه، تأثیر جریان خروجی از دیفیوزر که در واقع مؤلفه شعاعی سرعت است، بر عدم یکنواختی پروفیل سرعت در مقطع، قابل ملاحظه است و این غیر یکنواختی منجر به ایجاد یک افت فشار سکون اضافی خواهد شد. در محفظه های خارجی به دلیل دور شدن مقاطع از خروجی دیفیوزر، این تأثیر کاهش می یابد.



شکل ۲۶ محفظه نیمه خارجی

علایم یونانی	L	طول مخروط در آزمون محفظه مستقیم
β زاویه گام	C_V	ضریب بدون بعد فشار دینامیکی
γ زاویه یاو	V	بردار سرعت جریان
زیر نویس ها	V_T	مؤلفه مماسی سرعت در آزمون محفظه مستقیم
r مؤلفه سرعت در راستای کاوشگر	V_R	مؤلفه شعاعی سرعت در آزمون محفظه مستقیم
θ مؤلفه سرعت مماس بر کاوشگر	X	موقعیت طولی در آزمون محفظه مستقیم
z مؤلفه سرعت عمود بر کاوشگر	r	موقعیت شعاعی نسبت به محور ماشین
$P1$		شعاع خروجی دیفیوزر (شعاع ورودی محفظه)
$P5$		
فشارهای اندازه گیری از کاوشگر	r_d	
	z	راستای اندازه گیری کاوشگر

تقدیر و تشکر

نویسندگان از همکاری پرسنل آزمایشگاه توربوچارجر و آزمایشگاه مکانیک سیالات دانشگاه صنعتی شریف کمال تشکر را دارند.

مراجع

1. Mojaddam, M., Hajilouy-Benisi, A. and Movahhedy, M.R., "Optimal design of the volute for a turbocharger radial flow compressor", *Proceedings of the Institution of Mechanical Engineers, Part G: Journal of Aerospace*, Vol. 229(6), pp. 993–1002, (2015).
2. Ayder, E., Van den Braembussche, R. and Brasz, J., "Experimental and theoretical analysis of the flow in a centrifugal compressor volute", *ASME 1992 International Gas Turbine and Aeroengine Congress and Exposition*, Vol. 1, Cologne, Germany, June 1–4, (1992).
3. Pissasale, A. and Ahmed, N., "Theoretical calibration of a five hole probe for highly three dimensional flow", *International Journal of Measurement Science and Technology*, Vol. 13(7), pp. 1100-1107, (2002).
4. Van den Braembussche, R. and Hande, B., "Experimental and theoretical study of the swirling flow in centrifugal compressor volutes", *Journal of turbomachinery*, Vol. 112(1), pp. 38-43, (1990).
5. Van den Braembussche, R., Engeda, A., Keiper, R. and Rautenberg, M., "Experimental and numerical investigation of the flow in a centrifugal compressor volute", *Journal of turbomachinery*, Vol. 122, pp. 21-31, (2000).

6. Chondrokostas, C., "Calibration of pneumatic five-hole probes in the free-jet wind tunnel", Ph.D. Thesis, Vienna University of Technology, Austria, (2005).
7. Doustmohammadi, A.A., Hajilouy-Benisi, A. and Mojaddam, M., "Experimental and numerical investigation of losses in centrifugal compressor components", *Proceeding of ASME Turbo Expo Turbine Technical Conference and Exposition 2013*, Volume 6C, Texas, US, June 3-7, (2013).
8. Morrison, G., Schobeiri, M. and Pappu, K., "Five-hole pressure probe analysis technique", *Flow Measurement and Instrumentation*, Vol. 9(3), pp. 153-158, (1998).
9. Hajilouy-Benisi, A., Rad, M. and Shahhosseini, M., "Flow and performance characteristics of twin-entry radial turbine under full and extreme partial admission conditions", *Archive of Applied Mechanics*, Vol. 79(12), pp. 1127-1143, (2009).
۱۰. مجدم، محمد، «طراحی و بهینه‌سازی محفظه کمپرسور گریز از مرکز و ارزیابی آن با نتایج تجربی»، رساله دکتری، دانشکده مهندسی مکانیک، دانشگاه صنعتی شریف، (۱۳۹۳).
11. Mojaddam, M., Hajilouy-Benisi, A. and Movahhedy, M.R., "Experimental and numerical investigation of radial flow compressor volute shape effects in characteristics and circumferential pressure non-uniformity", *Scientia Iranica Transaction B Mechanical Engineering*, Vol. 20(6), pp. 1753-1763, (2013).
12. Nili-Ahmadabadi, M., Hajilouy-Benisi, A., Durali, M. and Ghadak, F., "Investigation of a centrifugal compressor and study of the area ratio and TIP clearance effects on performance", *Journal of Thermal Science*, Vol. 17(4), pp. 314-323, (2008).
13. Mojaddam, M., Benisi, A.H. and Movahhedi, M.R., "Investigation on effect of centrifugal compressor volute cross-section shape on performance and flow field", *Proceedings of ASME Turbo Expo-Turbine Technical Conference and Exposition 2012*, Volume 8, Copenhagen, Denmark, June 11-15, (2012).
14. Hajilouy - Benisi, A., Rad, M. and Shahhosseini, M.R., "Empirical assessment of the performance characteristics in turbocharger turbine and compressor", *Experimental Techniques*, Vol 34(3), pp. 54-67, (2010).